

## ارزیابی مقایسه‌ای الگوریتم‌های سبال و متريک در برآورد تبخیر و تعرق (مطالعه موردی: شهرستان ملایر)

اردوان قربانی<sup>۱\*</sup>، محمد فرامرزی<sup>۲</sup>، جلال کرمی<sup>۳</sup>، نبی الله غلامی<sup>۴</sup>، بهروز سبحانی<sup>۵</sup>

- 1- دانشیار سنجش از دور، دانشگاه محقق اردبیلی، اردبیل، ایران
- 2- کارشناس ارشد سنجش از دور، دانشگاه محقق اردبیلی، اردبیل، ایران
- 3- استادیار سنجش از دور، دانشگاه تربیت مدرس، تهران، ایران
- 4- دانشجوی دکتری سنجش از دور، دانشگاه خواجه‌نصیرالدین طوسی، تهران، ایران
- 5- دانشیار سنجش از دور، دانشگاه محقق اردبیلی، اردبیل، ایران

دریافت: ۹۳/۹/۱۰ پذیرش: ۹۳/۱۱/۲۷

### چکیده

برآورد تبخیر و تعرق یکی از عوامل مؤثر در مدیریت منابع آب است. روش‌های مختلفی برای برآورد تبخیر و تعرق وجود دارد. در این تحقیق، امکان‌سنجی کارایی دو مدل سبال و متريک با استفاده از تصویر MODIS سال ۱۳۹۲ و مقایسه آن‌ها در سطح شهرستان ملایر انجام شده است. با استفاده از این مدل‌ها، شارهای سطحی محاسبه و مقدار تبخیر و تعرق واقعی برآورد شده است. با توجه به روابط موجود و تفاوت‌های دو مدل در محاسبه ضریب شفافیت اتمسفری و مقدار شار گرمای خاک، نتایج نشان می‌دهد الگوریتم سبال با میانگین تبخیر و تعرق ۶/۸۳ میلی‌متر در روز، در مقایسه با الگوریتم متريک با مقدار ۷/۲۱ میلی‌متر در روز، حدود ۵/۲۶ درصد تبخیر و تعرق واقعی روزانه در محدوده شهرستان ملایر را کمتر برآورد کرده است. علت اصلی این اختلاف استفاده از معادلات متفاوت در محاسبه ضریب شفافیت اتمسفری و شار گرمای خاک است. بخش عمده این تفاوت‌ها، اختلاف زیاد در مقادیر شار گرمای خاک محاسبه شده با دو روش است. همچنین براساس نتایج، هر دو مدل می‌توانند مقدار تبخیر و تعرق واقعی را مناسب با توزیع مکانی منطبق با شرایط پستی و بلندی و پوشش گیاهی شهرستان ملایر برآورد کنند.

واژه‌های کلیدی: تبخیر و تعرق، سنجش از دور، الگوریتم سبال، متريک، استان همدان.

\* نویسنده مسئول مقاله:

Email: ardavanica@yahoo.com



## ۱- مقدمه

تبخیر و تعرق واقعی<sup>۱</sup>  $ET_{act}$  یکی از عوامل مهم در چرخه هیدرولوژی و از عوامل تعیین‌کننده معادلات انرژی در سطح زمین و توازن آب است و برآورد آن در زمینه‌های مختلف علوم همچون هیدرولوژی، کشاورزی، مدیریت جنگل و مرتع، و مدیریت منابع آب مورد نیاز است (میدوار و همکاران، ۱۳۹۲: ۱۳). برای محاسبه میزان تبخیر- تعرق در شرایط اقلیمی و جغرافیایی مختلف با استفاده از داده‌های هواشناسی روش‌های زیادی توسعه داده و آزمایش شده است. اغلب این روش‌ها از اندازه‌گیری داده‌های نقطه‌ای برای تخمین تبخیر و تعرق استفاده می‌کنند؛ بنابراین فقط مناسب مناطق محلی‌اند و به سبب طبیعت پویا و تغییرات منطقه‌ای تبخیر و تعرق، به حوضه‌های بزرگ تعمیم داده نمی‌شوند (Li & Lyons, 2002: 61).

با استفاده از روش سنجش از دور تبخیر و تعرق را در یک منطقه، بدون نیاز به دانستن پیشینه‌ای درباره اوضاع خاک، محصول و نحوه مدیریت مزرعه برآورد می‌کنند (Bastiaanssen Et al., 2005: 85). تاکنون از روش‌ها و سنجنده‌های مختلفی برای برآورد تبخیر و تعرق در مقیاس منطقه‌ای و حتی جهانی استفاده شده است. انتخاب روش و نوع سنجنده به میزان دسترسی به داده‌های مورد نیاز، دسترسی به تصاویر سنجنده‌ها، وسعت منطقه مطالعه و اهداف پژوهش بستگی دارد. الگوریتم‌های سبال (توازن انرژی سطح زمین)<sup>۲</sup> (Allen Et al., 2002: 15) و متريک<sup>۳</sup> (به دست آوردن تبخیر و تعرق در قدرت تفکيک مكانی بالا با كالibrاسيون داخلی) (Allen Et al., 2007: 380) از پرکاربردترین روش‌های محاسبه بیلان انرژی برای برآورد تبخیر و تعرق واقعی با استفاده از داده‌های سنجش از دور است. الگوریتم سبال روشی است که برپایه روابط تجربی و فيزيکي، ميزان تبخير و تعرق واقعی را با حداقل داده‌های زمینی برآورد می‌کند. اين الگوریتم را اولين بار باستيانس و همکاران (1998: 212) معرفی كردند و سپس آلن و همکاران (2002: 15) به اصلاح آن پرداختند؛ به طوري که الگوریتم اصلاح شده جديد با الگوریتم توازن انرژي متريک شابهت زيادي دارد (Allen Et al., 2002: 380). الگوریتم متريک به منظور فراهم کردن برآوردهای نسبتاً دقیق‌تر ET با تصاویر قدرت تفکيک مكانی زياد (~30m)

1. actual evapotranspiration

2. Surface Energy Balance for Land (SEABL)

3. Mapping EvapoTranspiration at High Resolution with Internalized Calibration (METHRIC)

در مقایسه با مدل‌های کلی تر مانند الگوریتم سبال و اعمال آثار حرکت افقی هوا در محاسبه ET ایجاد شده است. تفاوت مدل متريک با مدل سبال (Bastiaanssen Et al., 1998: 212) در استفاده از ET مرجع مبتنی بر داده‌های هواشناسی برای ایجاد شرایط توازن انرژی در یک پیکسل (پیکسل سرد) و برونویابی زمانی تبخیر و تعرق لحظه‌ای به روزانه است. در الگوریتم سبال اصلاح شده آلن و همکاران (15: 2002) این تفاوت‌ها نیز رفع شده و فقط در برخی روابط جزئی اختلاف دارند. دقت ET برآورده شده در روش سبال برای یک روز و در مقیاس 200 هکتار 85 درصد است که این دقت برای یک فصل تا 95 درصد افزایش می‌یابد. باستیانسن و همکاران (2005: 85) دقت ET سالیانه برای سطوح بزرگ با استفاده از این روش را به طور میانگین 96 درصد بیان کردند. همچنین اظهار کردند که استفاده از این روش برای برآورد تبخیر و تعرق در مقیاس‌های بزرگ و دوره‌های بلندمدت نتایج بهتری می‌دهد.

## 2- پیشینه تحقیق

درباره استفاده از سنجش از دور برای برآورد تبخیر و تعرق تحقیقات بسیاری صورت گرفته است. این مطالعات نشان‌دهنده کارایی روش‌های سنجش از دوری در برآورد تبخیر و تعرق واقعی در مقیاس منطقه‌ای و سطوح بزرگ است. برای مثال، آلن و همکاران (15: 2005) با به کار بردن الگوریتم متريک و مقایسه آن با مقادیر لایسیمتری، میزان خطا در برآورد تبخیر و تعرق چمن و چغندر قدر را به ترتیب 4 و 1 درصد برای فصل رشد به دست آورden. تاسومی<sup>1</sup> و همکاران (2005: 335) در آیداهو دو مدل توازن انرژی سبال قدیمی و متريک را مقایسه و بیان کردند که نتایج به دست آمده با داده‌های لایسیمتر تطابق خوبی دارد. چاوز<sup>2</sup> و همکاران (2007: 267) با استفاده از تصاویر لندست و مدل متريک، مقادیر ET روزانه را با داده‌های لایسیمتری مقایسه و میزان خطای کمتر از 28 درصد را گزارش کردند. فولهرز<sup>3</sup> و همکاران (2009: 1398) با استفاده از تصاویر لندست و مدل توازن انرژی متريک، مقادیر تبخیر و تعرق را در برزیل محاسبه، و کارایی این مدل را در برآورد مصرف آب و بهبود مدیریت آب در نواحی نیمه‌خشک

1. Tasumi

2. Chavez

3. Folhes



و تحت آبیاری شمال شرق برزیل توصیه کردند. موتیگا<sup>1</sup> و همکاران (2010: 108) تبخیر و تعرق را با استفاده از الگوریتم سبال و مدل تعادل آب در همین بازه زمانی محاسبه، و نتایج را مقایسه کردند و همپستگی 70 درصدی را نشان دادند. ژوپینگ<sup>2</sup> و همکاران (2011: 1088) با استفاده از تصاویر لندست ETM<sup>+</sup> و الگوریتم سبال در چین، پتانسیل مدل سبال را برای تخمین تبخیر و تعرق واقعی تأیید کردند. یوتنیگ<sup>3</sup> و همکاران (2012: 112) با استفاده از تصاویر MODIS و الگوریتم سبال نشان دادند که تغییرپذیری درون‌سالی در تبخیر و تعرق بر زمین‌های کشاورزی، بدن‌های آبی، جنگل‌ها و گراسلندهای آبی با تغییرپذیری در مقادیر تبخیر و تعرق توجیه‌پذیرند. پاول<sup>4</sup> و همکاران (2013: 214) مقادیر تخمینی تبخیر و تعرق و دیگر مؤلفه‌های الگوریتم سبال را با داده‌های میدانی اندازه‌گیری شده با چهار لایسیمتر دقیق وزنی در دو سطح شرایط کشت آبی و دیم مقایسه کردند و به نتایج قابل قبول در استفاده از الگوریتم سبال رسیدند. پاول و همکاران (2014: 157) با استفاده از الگوریتم سبال مقدار تبخیر و تعرق را برای دو سطح کشاورزی آبی و دیم تخمین زدند و نتایج را با داده‌های چهار لایسیمتر وزنی مقایسه و بر کارایی این الگوریتم تأکید کردند.

در ایران نیز نوری (1389: 109) امکان استفاده از الگوریتم سبال را برای محاسبه تبخیر و تعرق واقعی با استفاده از تصاویر MODIS در زیرحوضه آبریز مشهد بررسی کرد و نتیجه گرفت که این تصاویر و الگوریتم قادرند مقدار تبخیر و تعرق واقعی را در مقیاس روزانه در منطقه مشهد به خوبی برآورد کنند. باقری و همکاران (1391: 15) برای برآورد تبخیر و تعرق واقعی در دشت تبریز از تصاویر MODIS استفاده کردند و دریافتند که مدل سبال و متريک باينکه فرضيات پيچيده‌ای ندارند، نتایج مناسبی به دست می‌دهند و برای کار در سطوح بزرگ مناسب‌اند. اميبار و همکاران (1392: 1) با استفاده از الگوریتم‌های سبال و متريک و تصاویر ASTER در منطقه‌ای از مشهد نتیجه گرفتند که هر دو مدل مقدار تبخیر و تعرق واقعی را متناسب با توزيع مکاني منطبق با شرایط پستي و بلندی و پوشش گياهي حوضه برآورد می‌کنند. درباره استفاده از الگوریتم‌های سبال و متريک با استفاده از تصاویر ماهواره‌ای

1. Mutiga

2. Zhongping

3. Yuting Yang

4. Paul

پژوهش‌های زیادی انجام شده است؛ ولی چه در دنیا (Bastiaanssen Et al., 1998: 212; Allen Et al., 2002: 15; Allen Et al., 2007: 380; Yuting Et al., 2012: 112; Paul Et al., 2013: 106 - 101؛ ۱۳۸۹) و چه در ایران (نوری، 2014 & 2014: 157؛ ۱۳۹۱: ۹۶ - ۸۱؛ کریمی، فرهادی و حصادی، ۱۳۹۲: ۳۵۲؛ امیدوار و همکاران، ۱۳۹۲: ۱۲) با توجه به سابقه بیش از یک دهه تحقیق در این زمینه، هنوز ضرورت دارد تحقیقات بیشتری با توجه به تنوع اقلیمی و آب‌وهایی انجام شود تا امکان ارزیابی تبخیر و تعرق به‌نحوی مطلوب‌تر و دقیق‌تر برپایه این مدل‌ها و تصاویر ماهواره‌ای انجام گیرد. همچنین، با توجه به اینکه این مدل‌ها تجربی بوده و از پاره‌ای روش‌ها و معادلات تجربی استفاده می‌کنند، ضرورت دارد این مدل‌ها برای شرایط منطقه‌ای کالیبره و واسنجی شوند. در این تحقیق، تبخیر و تعرق واقعی در سطح شهرستان ملایر با اقلیمی نیمه‌خشک و کوهستانی - که دارای کاربری‌های مختلف مانند مرتع، مناطق مسکونی، اراضی کشاورزی آبی و دیم، سطوح آبی و غیره است و به صورت ناهمگن گسترش یافته‌اند - برآورده نشده است. لازم است یادآوری شود که در سطح منطقه مطالعه، نه از تصویر MODIS و نه از تصاویر دیگر در بررسی مقدار تبخیر و تعرق، چه با استفاده از مدل‌های سیال و متريک و چه مدل‌های دیگر، استفاده نشده و برآورده صورت نگرفته است؛ بنابراین این تحقیق از نخستین پژوهش‌ها در این زمینه است. گفتنی است در اکثر مطالعات پیشین، با استفاده از تصاویر و دو مدل نامبرده، برآورد تبخیر و تعرق اغلب در مناطق زراعی با کشت همگن کالیبره شده و در سطح اراضی ترکیبی کالیبره نشده‌اند؛ اما در این پژوهش با تأکید بر نحوه عمل کرد دو مدل و کارایی و مقایسه آن‌ها در اوضاعی خارج از شرایط کالیبره شده در یک محیط همگن انجام شده است.

### 3- داده‌ها و روش تحقیق

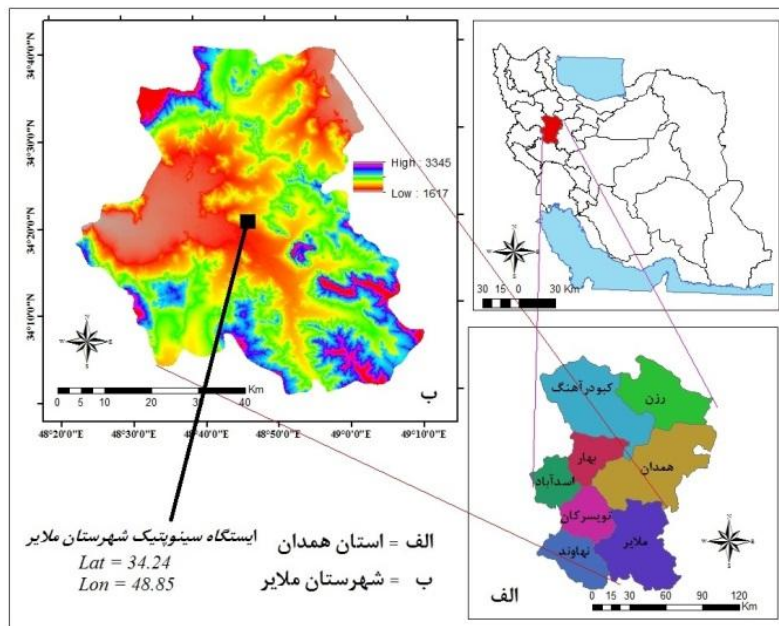
#### 3-1- منطقه مطالعه

شهرستان ملایر وسعتی معادل 3208 کیلومتر مربع دارد که 16/9 درصد از سطح استان همدان را داراست (شکل 1). تغییرات ارتفاعی بین 1617 تا 3345 متر نشان‌دهنده کوهستانی بودن منطقه (شکل 1 مدل رقومی ارتفاع نوسانات ارتفاعی را نشان می‌دهد) است و مقدار بارش سالیانه براساس گردایان ارتفاع و بارش استخراج شده از کل ایستگاه‌های سطح شهرستان و مناطق



اردوان قربانی و همکاران

همجوار (نهاوند، تویسرکان، همدان فرودگاه، همدان نوزه، اراک، کنگاور و بروجرد) با دوره پایه هفده ساله (1995-2012) به طور متوسط بین 250 تا 327 میلی متر است. میزان تبخیر و تعرق پتانسیل 24 ساعته در ایستگاه شهرستان ملایر برای ماه اردیبهشت به طور متوسط معادل 7/58 میلی متر ثبت شده است. در مطالعات مختلف با استفاده از سنجش از دور در برآورد تبخیر و تعرق، از لایسیمتر برای کنترل نتایج و نقشه های تولید شده استفاده می شود. بدلیل نبود لایسیمتر در سطح شهرستان ملایر، از ایستگاه سینوپتیک شهر ملایر که دما، بارندگی و تبخیر را ثبت می کند، به عنوان ایستگاه مرجع برای کنترل نتایج نقشه های تولید شده استفاده شده است (شکل 1). داده های ساعتی روز 1391/2/24 مصادف با زمان اخذ تصویر MODIS با استفاده از مدل فائو - پنم - مانیث به کار رفت. با توجه به اینکه مقدار بارندگی در فصل رشد کم است و اراضی کشاورزی دچار کمبود آب هستند، با برآورد تبخیر و تعرق واقعی می توان میزان آب مصرفی را مدیریت کرد تا بیشترین بازده را داشته باشند.



شکل 1 موقعیت جغرافیایی منطقه مطالعه در سطح کشور و استان همدان و تغییرات ارتفاعی سطح شهرستان

### 3-2- انتخاب، آماده‌سازی و پیش‌پردازش تصویر

با توجه به رشد روز افزون صنعت سنجش از دور و افزایش سنجنده‌ها، یکی از مبانی پایه در انتخاب تصویر مناسب برای هر مطالعه‌ای از جمله مطالعات برآورده بخیر و تعرق، کمک گرفتن از تصاویر ارزان قیمت برای کالیبره کردن و استفاده از آن‌ها به منظور ارزیابی و برآورده بخیر و تعرق در طول زمان است (کریمی، فرهادی و حصادی، ۱۳۹۱: ۳۵۲؛ امیدوار و همکاران، ۱۳۹۲: ۱۲). یکی از تصاویر مناسب که در دورترین نقاط دنیا در این زمینه مورد توجه است، تصاویر رایگان MODIS است (نوری، ۱۳۸۹: ۱۰۱- ۱۰۶). نکته دیگر در این زمینه، کالیبره کردن تصاویر مختلف، به ویژه تصاویر ارزان قیمت با توجه به شرایط منطقه‌ای در قالب تحقیقات است تا در ادامه بخش اجرا به صورت مستمر، از تصویر و چارچوب پیش‌نهادی تحقیقات در مطالعات اجرایی استفاده شود، بنابراین، هرچند از تصویر MODIS در نقاط مختلف دنیا از جمله ایران در این حوزه استفاده و با شرایط منطقه کالیبره شده، به کار گرفتن این تصاویر و الگوریتم‌های سبال و متربیک و مقایسه آن‌ها در ایران، در مرحله تکامل است (یاقری و همکاران، ۱۳۹۱: ۸۱). به علاوه در زمینه استفاده و کالیبره کردن تصاویر مختلف از جمله تصاویر MODIS در استان همدان با خصوصیات اقلیمی و پوشش گیاهی آن تحقیقات زیادی انجام نگرفته است. در تحقیقات انجام شده، از تصاویر Lansat TM در کرمانشاه (کریمی، فرهادی و حصادی، ۱۳۹۱: ۳۵۲- ۳۶۴)، ASTER در مشهد (امیدوار و همکاران، ۱۳۹۲: ۱۲) و از MODIS در دشت تبریز (یاقری و همکاران، ۱۳۹۱: ۸۱- ۹۶) از الگوریتم سبال یا مدل‌های دیگر استفاده نشده و تصاویر MODIS به طور گسترده به کار نرفته است. بنابراین، در این پژوهش انتخاب تصویر با درنظر گرفتن عواملی همچون شرایط زمانی (بهار)، کیفیت مطلوب، عدم پوشش لکه‌های ابر و همچنین به دلیل محدودیت انتخاب تصاویر دیگر، تصویر MODIS انتخاب شده است. تصویر انتخابی سطح دو بوده و به تصحیح هندسی نیاز نداشته؛ ولی با ۱۰ نقطه کنترلی GPS قبل از استفاده تصویر برای اصلاح و تأیید تصحیح هندسی کنترل شده است. با توجه به زمان گرفتن تصویر که عاری از اختشاشات جوی بوده و همچنین به دلیل تک‌زمانه بودن تفسیر، به تصحیحات اتمسفری نیازی نبوده است (Song Et al., 2001: 230).

در جدول یک مشخصات تصویر مورد استفاده آمده است.



۱

جدول 1 خصوصیات تصویر MODIS انتخاب شده

نوع تصویر	تاریخ اخذ تصویر (میلادی)	تاریخ اخذ تصویر (شمسی)	تعداد پاند	قدرت تفکیک (متر)
MODIS	2013/14/05	1392/2/24	36	250.500.1000 19 پاند انعکاسی
				1000 17 پاند حرارتی

### 3-3- الگوریتم توازن انرژی سبال و متريک

مبانی نظری و چگونگی روند محاسبات برآورد تبخیر و تعرق واقعی با استفاده از روش سبال و متريک به تفصيل در منابع مختلف بيان شده است (Allen Et al., 2002 & 2007). در هر دو مدل، مقدار تبخیر و تعرق واقعی با استفاده از تصاویر ماهواره‌ای و براساس معادله توازن انرژی محاسبه می‌شود. از آنجا که تصاویر ماهواره‌ای فقط می‌توانند در زمان گذر ماهواره اطلاعاتی بدهنند، مدل‌های یادشده امکان برآورد مقدار شار گرمای نهان لحظه‌ای را در زمان تصویر امکان‌پذیر می‌کنند (Allen Et al., 2002: 15). همچنین براساس همین منع، شار گرمای نهان برای هر پیکسل تصویر و به صورت معادله توازن انرژی سطح براساس معادله یک محاسبه شده است.

$$\lambda ET = R_n - H - G \quad 1$$

در معادله یک،  $\lambda ET$  شار گرمای نهان ( $W/m^2$ )،  $R_n$  شار تابش خالص در سطح زمین ( $W/m^2$ )،  $G$  شار گرمای خاک ( $W/m^2$ ) و  $H$  شار گرمای محسوس ( $W/m^2$ ) است. دقت برآورد شار گرمای نهان به روند محاسبات و دقت برآورد پارامترهای  $R_n$ ،  $G$  و  $H$  بستگی دارد. الگوریتم‌های سبال و متريک در اکثر بخش‌های محاسباتی مشابه‌اند و فقط در برخی روابط تفاوت دارند (Ibid). مقدار تابش خالص، اولین مرحله به منظور حل معادله توازن انرژی سطحی در الگوریتم سبال، محاسبه شار تابش خالص سطحی ( $R_n$ ) با استفاده از شارهای تابش ورودی و خروجی براساس معادله دو محاسبه شده است (Ibid).

$$R_n = (1 - \alpha)R_{S\downarrow} + R_{L\downarrow} - R_{L\uparrow} - (1 - \varepsilon_0)R_{L\downarrow} \quad 2$$

$R_{S\downarrow}$  تابش موج کوتاه ورودی ( $W/m^2$ ),  $R_{L\downarrow}$  تابش موج بلند ورودی ( $W/m^2$ ),  $\alpha$  آلبیدوی سطحی و  $\epsilon_0$  توان تشعشعی سطحی باندهای 31 و 32 سنجنده MODIS است. تمام پارامترهای یادشده در هر دو روش مانند هم محاسبه شده‌اند. فقط تفاوت در معادله برآورد مقدار ضریب شفافیت اتمسفر  $\tau_{sw}$ , سبب ایجاد اختلاف در مقادیر خروجی تابش طول موج کوتاه ورودی  $R_{S\downarrow}$  و در تابش طول موج بلند ورودی از اتمسفر  $R_{L\downarrow}$  شده و درنتیجه، مقادیر تابش خالص  $R_n$  به دست آمده است. از معادله‌های سه و چهار به ترتیب به منظور محاسبه در الگوریتم سیال و متريک استفاده شده است (Allen Et al., 2002 & 2007).

$$\tau_{sw} = 0.75 + 2 \times 10^{-5} \times Z \quad \text{معادله 3}$$

$$\tau_{sw} = 0.75 + 0.627 * \exp \left[ \frac{-0.00146*p}{kt \cos \theta_{hor}} - 0.75 \left( \frac{w}{\cos \theta_{hor}} \right)^{0.4} \right] \quad \text{معادله 4}$$

$z$  ارتفاع از سطح دریا (m),  $P$  فشار اتمسفر (kpa),  $W$  آب موجود در اتمسفر (mm) (Ibid). از آنجا که محاسبه مستقیم مقدار شار گرمای خاک با استفاده از تصاویر ماهواره‌ای مشکل است، در روش سیال ابتدا نسبت  $G/R_n$  در نیمة روز، با استفاده از معادله تجربی باستیانسن (2000) به صورت معادله پنج محاسبه شده است.

$$\frac{G}{R_n} = \frac{T_s}{\alpha} (0.0038\alpha + 0.0074\alpha^2)(1 - 0.98NDVI^4) \quad \text{معادله 5}$$

در معادله پنج،  $T_s$  دمای سطحی ( $^{\circ}\text{C}$ ) و  $\alpha$  آلبیدوی سطحی است. مقدار  $G$  با ضرب کردن این نسبت در  $R_n$  به دست می‌آید. به همین منظور، ابتدا NDVI<sup>1</sup> با استفاده از رابطه شش محاسبه شده است. NDVI شاخصی است که مقدار و اوضاع پوشش گیاهی را نشان می‌دهد. مقادیر آن بین -1 تا +1 متغیر است؛ به طوری که مقدار آن برای سطح خاک لخت حدود صفر،

1. Normalized Deference Vegetation Index



برای سطوح کاملاً پوشیده از گیاه حدود ۱ و برای سطح حاوی آب و ابرها معمولاً کمتر از صفر است.

$$NDVI = (R_1 - R_2) / (R_1 + R_2)$$

معادله ۶

$R_2$  انعکاس طیفی باند ۱ مودیس (باند قرمز) و  $R_1$  انعکاس طیفی باند ۲ مودیس (باند مادون قرمز نزدیک) است.

تاسومی (2003) به منظور محاسبه شار گرمای خاک در مدل متريک، معادله‌های هفت و هشت را پيش‌نهاد داد که در اين تحقیق نيز از آن‌ها استفاده شده است.

$$\frac{G}{R_n} = 0.05 + 0.18e^{-0.52LAI}$$

$$LAI^1 >= 0.5$$

معادله ۷

$$\frac{G}{R_n} = 1.8 * (T_s - 273.15) / (R_n + 0.084)$$

$$LAI < 0.5$$

معادله ۸

با توجه به اينکه يکی از پارامترهای معادله هفت شاخص سطح برگی یا LAI است، با استفاده از رابطه نه به محاسبه آن پرداخته شده است. درواقع، LAI شاخصی از بیomas و مقاومت تاج پوشش گیاهی است و به صورت نسبت کل برگ‌های گیاه به سطح زمین پوشانده شده از آن گیاه تعریف می‌شود (Ibid).

$$LAI = -\{\ln((0.69-SAVI)/0.59)\}/0.91$$

معادله ۹

رابطه LAI به نوع محصول و موقعیت جغرافیایی محل مطالعه بستگی دارد و معادله نه براساس میانگین رابطه<sup>2</sup> SAVI-LAI<sup>1</sup> برای انواع محصولات، اولین بار در ناحیه آیداهوی جنوبی محاسبه شده است. بنابراین، مقادیر دقیق‌تر LAI از تصویر ماهواره‌ای را می‌توان با

1. Leaf Area Index

2. Soil-Adjusted Vegetation Index

ترکیب نقشه کاربری زمین و رابطه SAVI-LAI برای هر نوع محصول به دست آورده. در این مطالعه نیز، از رابطه‌ای که در آیداهو جنوبی به دست آمده است (LAI)، استفاده شده (Ibid, 17). با توجه به اینکه یکی از پارامترهای شاخص LAI، شاخص تعديل شده گیاهی برای خاک یا SAVI است، با استفاده از معادله ده این شاخص محاسبه شده است (Ibid, 25). شاخص SAVI سعی در کاهش آثار خاک زمینه در NDVI دارد و آثار رطوبت خاک نیز در این شاخص کاهش می‌یابد (Huete, 1998: 295).

$$\text{SAVI} = \frac{(1+L)(R_1-R_2)}{(R_1+R_2+L)} \quad \text{معادله ۱۰}$$

L فاکتور تصحیح آثار زمینه خاک است و از صفر برای پوشش گیاهی متراکم تر تا ۱ برای تراکم‌های کمتر متغیر است. در این تحقیق، مقدار استاندارد استفاده شده ۰/۵ است (Allen Et al., 2002: 25) که با پوشش گیاهی متوسط تناسب دارد. در شهرستان ملایر با استفاده از شاخص پوشش گیاهی NDVI که نشان‌دهنده شرایط پوشش گیاهی است، میانگین شاخص برابر با ۰/۱۹ بود که با توجه به شرایط بزرگی پیکسل‌های سنجنده MODIS، برابر با پوشش گیاهی متوسط درنظر گرفته شده و مقدار ۰/۵ برای ضریب تصحیح آثار زمینه خاک استفاده شده است.

یکی از تفاوت‌های اصلی روش سیال قدیمی و متريک در چگونگی محاسبه مقدار شار گرمای محسوس است (Ibid, 27) که در مدل سیال این اختلاف وجود ندارد. مقدار این مؤلفه از معادله یازده موسوم به بیلان انرژی محاسبه شده است (Ibid). منظور از شار گرمای محسوس، میزان هدررفت گرما به هوا از طریق هم‌رفت و هدایت مولکولی به علت وجود اختلاف دماس است که با استفاده از معادله یازده محاسبه شده است (Ibid).

$$H = \frac{\rho \cdot C_P \cdot dT}{r_{ah}} \quad \text{معادله ۱۱}$$



ا

ردوان قربانی و همکاران

ارزیابی مقایسه‌ای الگوریتم‌های سبال و ...

ρ چگالی هوا ( $\text{kg/m}^3$ ),  $C_p$  گرمای ویژه هوا (1004 J/Kg/K),  $dT$  اختلاف دما ( $T_1-T_2$ ) بین دو ارتفاع ( $Z_1-Z_2$ ) بر حسب درجه کلوین (K) و  $r_{ah}$  مقاومت آبودینامیکی دربرابر انتقال گرماست (s/m). شار گرمای محسوس تابعی از گرادیان دما، زبری سطح و سرعت باد است. حل این معادله به دلیل وجود دو مجھول  $r_{ah}$  و  $dT$  مشکل است. به منظور تسهیل محاسبات، از دو پیکسل سرد و گرم (که در آنها می‌توان مقادیر قابل اعتمادی برای  $H$  پیش‌بینی کرد و درنتیجه برآورده از  $dT$  بدست آورد) و سرعت باد در ارتفاع معین استفاده شده است. با توجه به اینکه  $r_{ah}$  تابعی از شار گرمای محسوس است، معادله یازده دارای حل صریح نیست و باید به روش چرخه‌ای حل شود. به منظور اعمال تصحیح‌های پایداری جو، از طول مانین آبخوف<sup>1</sup> (Ibid, 34) استفاده شده که توضیحات و معادلات مربوط به آن در ادامه آمده است.

در مرحله اول، از چرخه محاسبه  $H$  از به کارگیری توابع پایداری جو صرف‌نظر شده است. با چشم‌پوشی از توابع پایداری، تخمین مقاومت آبودینامیکی صحیح نیست؛ ولی این امکان ایجاد می‌شود تا بتوان سایر پارامترها را یکی پس از دیگری محاسبه کرد. برای این کار باید ابتدا دو پیکسل لنگر را برگزید، سپس برای این دو پیکسل محاسبه صورت گیرد و با استفاده از آنها برای کل تصویر محاسبه انجام شود. روش سبال از دو پیکسل شاخص برای تعیین شرایط مرزی ثابت، در معادله توازن انرژی استفاده می‌کند (Ibid). این پیکسل‌ها که پیکسل سرد و گرم نامیده می‌شوند، باید در محدوده مطالعه در سطح تصویر انتخاب شوند. پیکسل سرد از منطقه پوشیده از پوشش گیاهی کامل و کاملاً آب‌یاری شده انتخاب شده که در آن دمای سطحی برابر با دمای هوای نزدیک سطح فرض می‌شود. پیکسل گرم نیز از یک زمین کشاورزی بدون پوشش گیاهی و خشک که در آن تبخیر و تعرق صفر فرض می‌شود، انتخاب شده است. در انتخاب پیکسل‌های سرد و گرم دقت زیادی صورت گرفته است؛ زیرا کیفیت نتایج و محاسبات در روش سبال به دقت در انتخاب این دو پیکسل بستگی دارد (Ibid). در انتخاب پیکسل‌های مذکور از عواملی همچون دمای سطحی، آلیدو و شاخص‌های پوشش گیاهی استفاده شده است؛ بدین صورت که پیکسل سرد دارای دمای کم، آلیدویی حدود 0/22 تا 0/24 مطابق با زمین یونجه و مقدار NDVI زیاد باشد؛ در حالی که پیکسل گرم دارای دمای

1. Monin-Obukhov

زیاد، آلبیدوی زیاد شبیه به سایر زمین‌های خشک و بدون پوشش گیاهی و مقدار NDVI کم باشد. در انتخاب پیکسل‌های سرد و گرم دقیق شده تا از انتخاب دماهای خیلی کم یا خیلی زیاد اختناب شود. چنانچه دمای پیکسل سرد خیلی کم انتخاب شود، مقدار تبخیر و تعرق در پیکسل‌هایی که تبخیر و تعرق کامل داشته اما دمای بیشتری دارند، کمتر از مقدار واقعی برآورد می‌شود. درباره پیکسل گرم نیز، چنانچه دمای آن خیلی زیاد انتخاب شود، مقدار تبخیر و تعرق پیکسل‌هایی با دمای کمتر اما مقدار تبخیر و تعرق معادل صفر، بیشتر از صفر خواهد شد. در این تحقیق، با توجه به نظریه سیال، پیکسل سرد مزارع با پوشش گیاهی کامل (عموماً یونجه) و کاملاً آب‌یاری شده انتخاب شده است که در آن دمای سطحی و دمای هوای نزدیک سطح برابر فرض می‌شوند و پیکسل گرم هم از اراضی کشاورزی بدون پوشش و خشک انتخاب شده است؛ سپس با بازدید میدانی و ارزیابی مقادیر NDVI و آلبیدو و دمای سطحی نقاط به دست آمده از مطالعات میدانی، پیکسل‌های گرم و سرد برگزیده شده است.

با وجود یکسان بودن روش محاسبه H در هر دو مدل سیال و متربک، به علت استفاده از مقادیر Rn و G در روند محاسبات H، نتایج خروجی مقدار H نیز برای دو روش متفاوت خواهد بود. پس از آنکه مقدار شار گرمای محسوس براساس شرایط جوی تصحیح شد، مقدار لحظه‌ای شار گرمای نهان تبخیر مطابق با معادله یک برای هر پیکسل محاسبه شد. از آنجا که مقادیر شار تابش خالص ( $R_n$ )، شار گرمای محسوس (H) و شار گرمای خاک (G) که تاکنون به دست آمده، مقادیر لحظه‌ای و برای زمان گذر ماهواره هستند، مقدار شار گرمای نهان ( $\lambda ET$ ) نیز لحظه‌ای است.  $\lambda ET$  مقداری است که از طریق تصاویر ماهواره‌ای به دست می‌آید. بنابراین، مقدار عددی  $\lambda$  باید محاسبه شود تا با تقسیم عدد مربوط در هر پیکسل، مقدار ET به دست آید. با استفاده از شار گرمای نهان لحظه‌ای، مقدار ET لحظه‌ای به صورت معادله دوازده (Ibid، 37) به دست آمده است.

$$ET_{inst} = 3600 \frac{\lambda ET}{\lambda} \quad 12$$

مقدار تبخیر و تعرق لحظه‌ای ( $mm/hr$ )،  $\lambda$  گرمای نهان تبخیر ( $J/Kg$ ) و عدد 3600 برای تبدیل زمان از ثانیه به ساعت است. مقدار  $\lambda$  نیز از معادله سیزده محاسبه شده است.



۱

$$\lambda = [2.501 - 0.00236(T_s - 273.15)] \times 10^6 \quad \text{معادله ۱۳}$$

### ۳-۱-۳-۳- کسر تبخیر و تعرق مرجع ( $ET_rF$ )

کسر تبخیر و تعرق مرجع به صورت نسبت تبخیر و تعرق لحظه‌ای ( $ET_{inst}$ ) محاسبه شده برای هر پیکسل (mm/hr) به تبخیر و تعرق مرجع ( $ET_r$ ) محاسبه شده از داده‌های هواشناسی برای زمان تصویر (mm/hr) براساس معادله چهارده محاسبه شده است.

$$ET_rF = \frac{ET_{inst}}{ET_r} \quad \text{معادله ۱۴}$$

$ET_rF$  مشابه ضریب گیاهی ( $Kc$ ) بوده و برای برونویابی ET از زمان تصویر به دوره 24 ساعته یا طولانی‌تر استفاده می‌شود. مقدار  $ET_rF$  عموماً بین صفر و یک متغیر است؛ به طوری که در پیکسل کاملاً خشک مقدار  $ET=0$  و  $ET_rF=0$  و در پیکسل سرد - اگر در مزرعه یونجه یا ذرت واقع شده باشد - آن تا اندازه‌ای بیشتر از  $ET_r$  است؛ بنابراین  $ET_rF > 1$  (احتمالاً  $1/1$ ) است. مقادیر منفی برای  $ET_rF$  به علت خطاهای سیستماتیک که از راه فرضیات مختلف در سیال وارد می‌شوند، رخ می‌دهد (Ibid). برای محاسبه  $ET_r$  روابط متعددی بیان شده که از میان آنها، رابطه پنمن - مانیث را فائق برای اکثر کشورهای با اقلیم خشک و نیمه‌خشک، از جمله ایران، پیشنهاد کرده است (12, Ibid). روش پنمن - مانیث دارای نسخه‌های متعددی است که از بین آنها، روش فائق - پنمن - مانیث به عنوان یکی از معتبرترین روش‌ها برای تخمین تبخیر و تعرق مرجع، مورد استفاده متخصصان است (علیزاده، 1387). بنابراین، در این پژوهش از نسخه فائق - پنمن - مانیث 56 در نرم‌افزار REF-ET به منظور محاسبه  $ET_r$  استفاده شده است.

### ۳-۲-۳- تبخیر - تعرق 24 ساعته

غلب، مقادیر روزانه تبخیر و تعرق ( $ET_{24}$ ) در مقایسه با مقادیر لحظه‌ای کاربرد بیشتری دارند. سیال مقدار  $ET_{24}$  را با فرض اینکه  $ET_rF$  لحظه‌ای، شبیه به میانگین  $ET_rF$  در طول 24 ساعت است، محاسبه می‌کند. مقدار  $ET_{24}$  (mm/day) براساس معادله پانزده (Allen Et al., 2002: 32) محاسبه شده است.

$$\text{معادله ۱۵}$$

$$ET_{24} = ET_r F \times ET_{r\_24}$$

$ET_r$  مجموع طی 24 ساعت برای همان روز تصویر است که با جمع کردن مقادیر ساعتی  $ET_r$  با یکدیگر در روز گذر ماهواره به دست آمده است.

با توجه به نبود لایسیمتر در سطح شهرستان ملایر، ناگزیر از تنها ایستگاه سینوپتیک شهر ملایر که اطلاعات هواشناسی را ثبت می‌کند، به عنوان ایستگاه مرجع برای کنترل نتایج و نقشه‌های تولیدشده جهت ارزیابی مدل‌ها در سطح منطقه استفاده شده است. مقادیر حداکثر تبخیر و تعرق برآورده شده با مدل سبال و متريک با مقدار تبخیر و تعرق پتانسیل محاسبه شده با فرمول فائز-پمن - مانتیث (براساس چارچوب اشاره شده برای روز 1391/2/24 مصادف با زمان اخذ تصویر MODIS) مقایسه شده است.

#### 4- یافته‌های تحقیق

نتایج برآورد تبخیر و تعرق روزانه به دو روش سبال و متريک نشان می‌دهد در مکان‌هایی که دارای پوشش گیاهی انبوه و مقادیر NDVI دارای ارزش زیاد است، دمای سطحی کمتری مشاهده می‌شود و بر عکس، در مناطقی که مقادیر NDVI کمتری دارند و درنتیجه دارای پوشش تنک و خاک لخت هستند، دمای سطحی زیادتر است که این شرایط به دلیل نبود منبعی برای تبخیر و تعرق است. این جریان نشان‌دهنده مقادیر تبخیر و تعرق زیاد در نواحی با NDVI زیاد و مقادیر تبخیر و تعرق کم در نواحی با مقدار NDVI کم است. بنابراین، چارچوب محاسبات و روند ارزشی پیکسل‌ها در نقشه تولیدشده صحیح است و در ادامه، باید صحت نتایج و ارزش مقدار تبخیر و تعرق برآورده شده در هر پیکسل تأیید و علت اختلاف‌ها تشریح شود. با توجه به نتایج جدول یک و شکل‌های دو و سه، الگوریتم سبال با میانگین تبخیر و تعرق 6/83 میلی‌متر در روز، در مقایسه با الگوریتم متريک با مقدار میانگین تبخیر و تعرق 5/26 میلی‌متر در روز، 7/21 درصد میانگین تبخیر و تعرق واقعی روزانه را در محدوده شهرستان ملایر کمتر برآورد کرده است. میزان تبخیر و تعرق پتانسیل در ایستگاه شهرستان ملایر برای ماه اردیبهشت به طور متوسط معادل 7/58 میلی‌متر از تشتک تبخیر به صورت نقطه‌ای

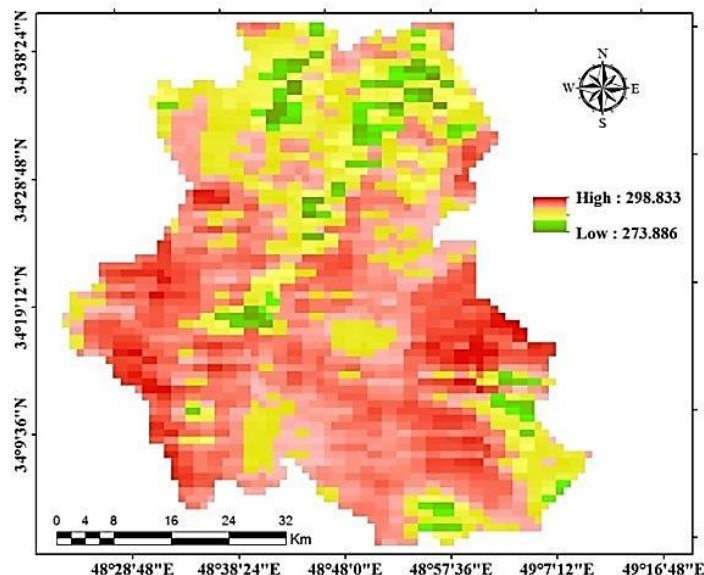


## اردوان قربانی و همکاران

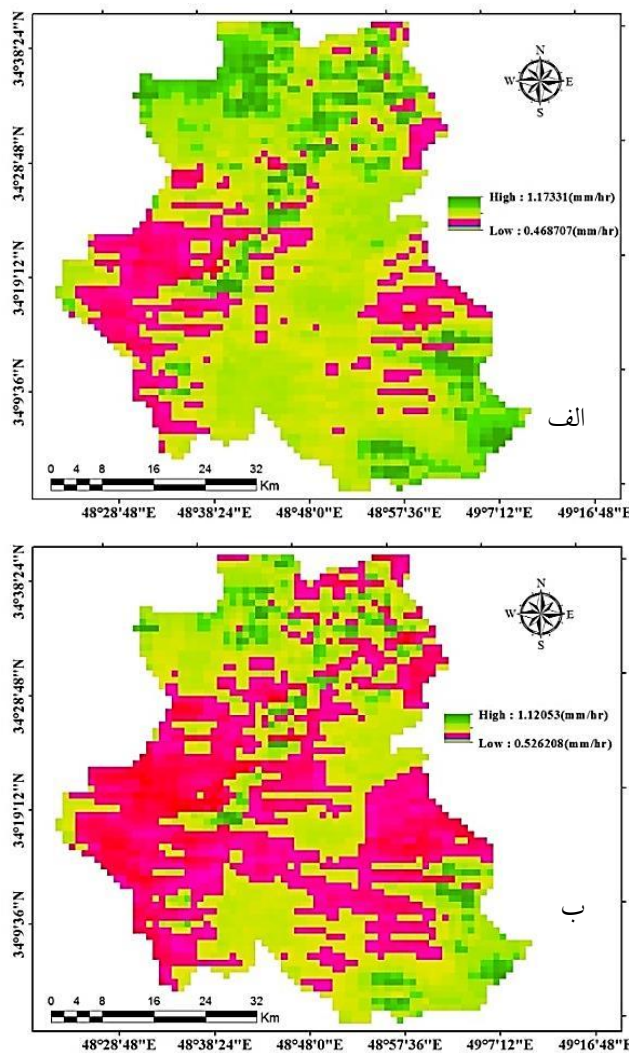
برای شهر ملایر ثبت شده است؛ اما با توجه به موقعیت شهر ملایر که تقریباً در گودی قرار گرفته، تغییرات ارتفاعی 1728 متری سطح شهرستان (شکل 1)، قرار گرفتن بخش زیاد شهرستان در ارتفاع بالاتر از شهر ملایر و همچنین با توجه به همبستگی منفی بین ارتفاع و تبخیر و تعرق، مقدار متوسط آن در سطح شهرستان 6/86 میلی متر براساس روش فائو- پنم مانیث است. بنابراین، الگوریتم سبال در مقایسه با مدل متريک نتایج نزديکتری به دست داده است.

جدول 2 نتایج برآورد تبخیر و تعرق با استفاده از دو مدل سبال و متريک برای شهرستان ملایر

ET (Total)	Area	St dev.	Mean ET24	Max ET24	
(10 <sup>6</sup> * lit/day)	(ha)	تبخير و تعرق	mm/day	mm/day	مدل
21910/64	320800	1/13	6/83	10/73	سبال
23129/68	320800	0/91	7/21	10/24	متريک



شکل 2 دمای سطحی محاسبه شده (کلوین) در محدوده شهرستان ملایر با استفاده از تصاویر MODIS



شکل ۳ مقدار تبخیر و تعرق محاسبه شده با استفاده از تصویر MODIS و دو الگوریتم: الف: سبال، ب: متريک در سطح شهرستان ملایر

نتایج بررسی علل تفاوت در مقادیر برآورد شده تبخیر و تعرق به دو روش سبال و متريک، براساس مؤلفه های اصلی معادله بیلان به دست آمده از دو الگوریتم نامبرده تحت عنوان H، G و Rn در شکل چهار ارائه شده است. Rn شار تابش خالص است. نتایج



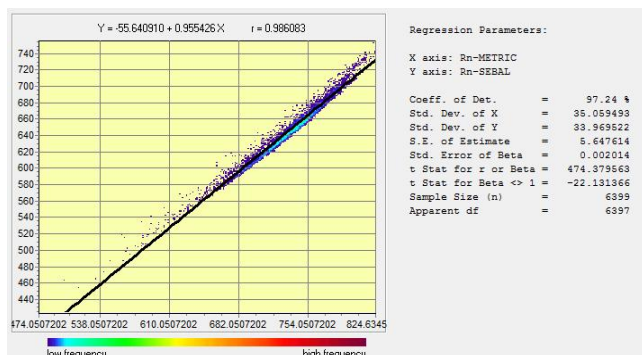
۱

## اردوان قربانی و همکاران

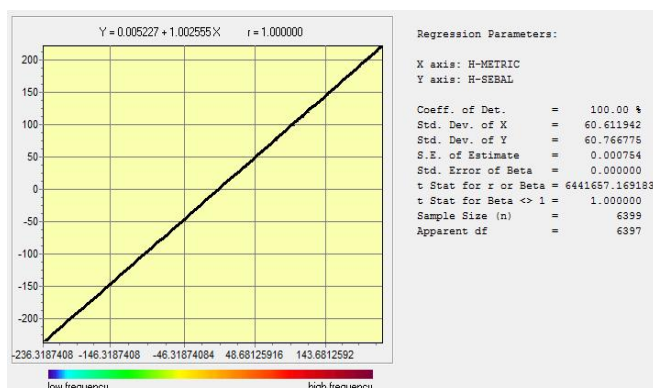
از زیبایی مقایسه‌ای الگوریتم‌های سبال و ...

برآورده  $Rn$  با استفاده از مدل سبال و متريک از همبستگی بسیار زیادی برخوردار است و دليل اختلاف جزئی در نتایج، تفاوت اين دو الگوریتم در چگونگی محاسبه ضريب شفافیت اتمسفری است (امیدوار و همکاران، 1392: 17) که در استفاده از دو الگوریتم سبال و متريک به اين تفاوت اشاره شده است. با توجه شكل چهار، مقدار  $Rn$  محاسبه شده با روش متريک ميزان بيشتری را در مقاييسه با الگوریتم سبال برآورد کرده است؛ هرچند اميدوار و همکاران (1392) و تاسومي (2005) به چنین مشكلي اشاره نکرده‌اند. گفتنی است نتایج شكل چهار مربوط به تصوير اردیبهشت است و نمي توان اين فرابراورده را به تمام ماه‌های سال نسبت داد. در روش سبال، مقدار ضريب شفافیت اتمسفری در تمام ماه‌های سال ثابت است؛ چون فقط به ارتفاع منطقه بستگی دارد؛ اما در روش متريک، پaramترهاي همچون مقدار بخار اتمسفر، فشار هوا و زاويه زنيت خورشيدی نيز دخيل اند که اين پaramترها مطابق با زمان تغيير خواهند کرد. بنابراین بهنظر مي رسد نمودار مقدار برآورده  $Rn$  با استفاده از اين دو روش در تمام زمان‌ها برآورده يكسان و ثابتی نداشته باشد. بهمنظور بررسی اين مسئله لازم است تا با استفاده از تصاویر ماهواره‌اي مختلف، مقادير  $Rn$  با استفاده از دو روش ضريب شفافیت اتمسفری، بهويژه در ماه‌های مختلف سال برآورده شود تا بتوان چگونگی برآورده  $Rn$  را در ساير فصول بهتر بررسی کرد. شار گرمای خاک محاسبه شده براساس معادله‌های پنج و شش در شكل چهار در مقابل يكديگر رسم شده است.

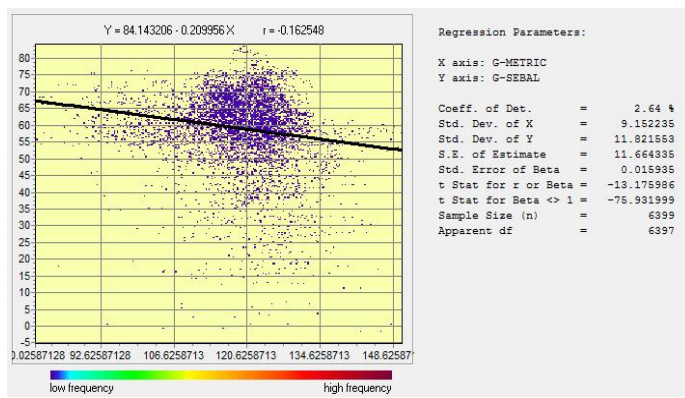
در شكل چهار (الف، ب، ج) بين دو پaramتر گرمای محسوس و تابش خالص در دو مدل سبال و متريک، تقربياً همبستگی خوب و معنادي برقرار است که اميدوار و همکاران (1392: 17) نيز به نتایج مشابهی دست یافته‌اند. با توجه به مطالعات قبلی اميدوار (1390: 10)، دلایل انحراف اندک تابش خالص در دو مدل تشریح شده است. شار گرمای خاک همبستگی ضعيفی دارد که نشان‌دهنده نبود رابطه مشخصی بين دو روش يادشده است. با توجه به اينکه شار گرمای خاک در دو روش با روابط تجربی جداگانه‌اي محاسبه شده و از آنجا که در محاسبه مقدار G از پaramترهای NDVI، ALbedo و دمای سطح زمين استفاده شده، اين اختلاف ظاهرًا گريزناپذير است. بهمنظور بررسی علل وجود اين ناهمبستگی، شار گرمای خاک براساس هر يك از چهار پaramتر يادشده در شكل پنج رسم شده است.



الف



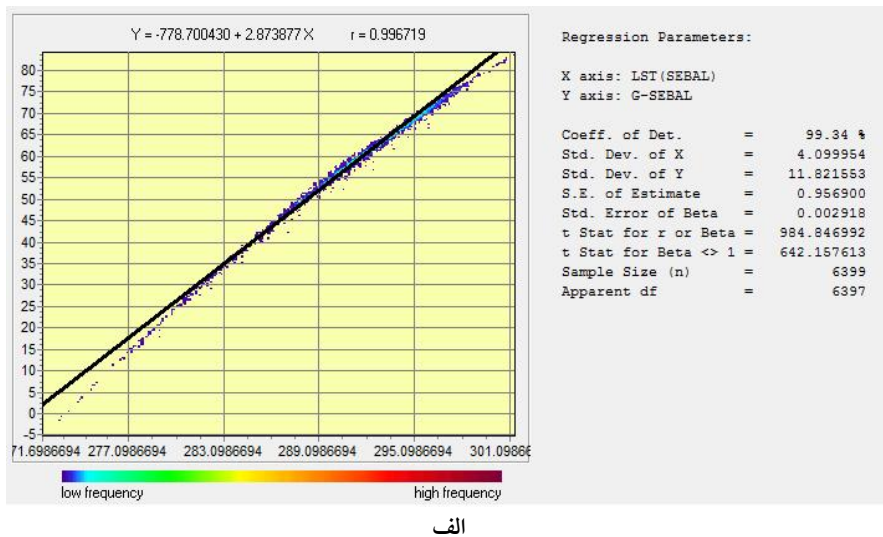
ب



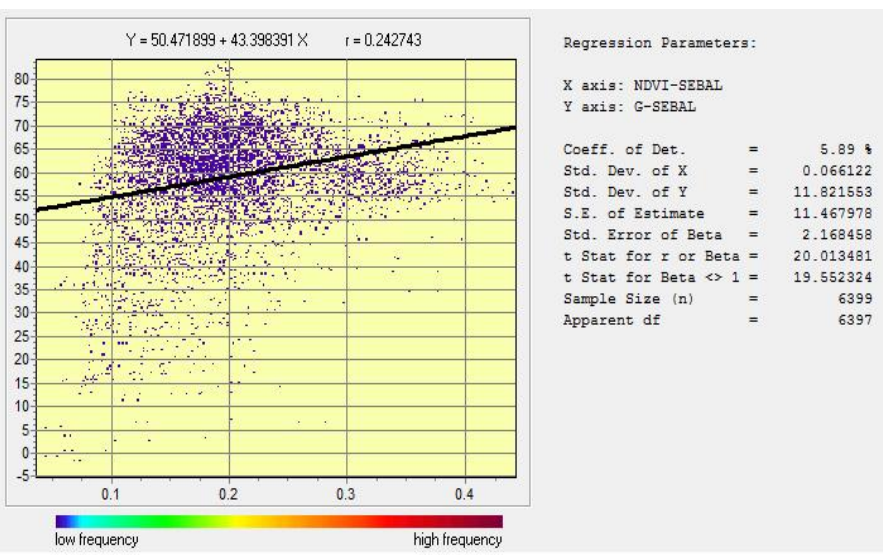
ج

شکل ۴ نمایش همبستگی پارامترهای الف: Rn، ب: H، ج: G، محاسبه شده با دو الگوریتم سبال و متریک

در میان پارامترهای یادشده، تنها پارامتر دمای سطحی با مقدار شار گرمای خاک سبال هم بستگی تقریباً کاملی دارد که نشان می‌دهد هرچه دمای سطحی زمین بیشتر باشد، مقدار شار گرمای خاک زیادتر است و بر عکس (شکل مربوط به دمای سطحی و شار گرمای خاک کاملاً گویای این مطلب است). با توجه به شاخص NDVI محاسبه شده، ارزش بیشتر نقاط در محدوده ۰/۱ تا ۰/۲ است و این دامنه تغییرات در این شاخص مربوط به پوشش خاکی است که شار گرمای زیادی دارد و رابطهٔ خوبی در تصویر برقرار کرده است؛ ولی در سایر نقاطی که دارای انحراف است، احتمالاً به دلیل قدرت تفکیک تصویر MODIS است که با توجه به بزرگی پیکسل (1000 متر) و به دلیل سهم هر پیکسل از عوارض - با توجه به کاربری‌های شهرستان ملایر و توپوگرافی ناهمسان آن - برای نتایج بهتر، باید عملیات زیرپیکسل برای این کار انجام شود. در پارامتر LAI و آلبیدو نیز وضعیت به همین ترتیب است. آلبیدو هم بستگی ضعیفی با مقدار شار گرمای نهان برقرار کرده است؛ اما با توجه به اینکه بیشتر نقاط آن رابطهٔ معکوس با مقدار شار نشان داده‌اند، یعنی با وجود داشتن شار گرمای نهان زیاد، دارای آلبیدوی کمی هستند. در نقاطی که مقدار آلبیدو زیاد است، مقدار کمتری انرژی ذخیره شده و در مکان‌هایی که دارای آلبیدو کم هستند، مقدار انرژی ذخیره شده در خاک نگهداری شده است. در پارامتر LAI نیز با توجه به فشردگی نقاط در محدودهٔ پایین مقدار LAI، یعنی در مکان‌هایی که مقدار LAI یا پوشش گیاهی کمتر است، مقدار گرمای بیشتری در خاک ذخیره شده است. علت زیاد بودن شار گرمای نهان با توجه به LAI بالا در مکان‌هایی که این شرایط را دارند، پیکسل‌های مخلوط در تصویر MODIS است.

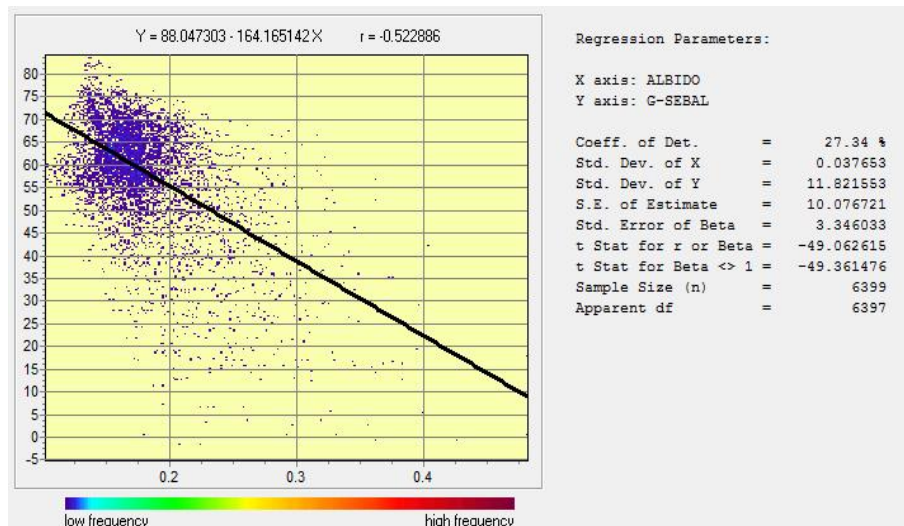


الف

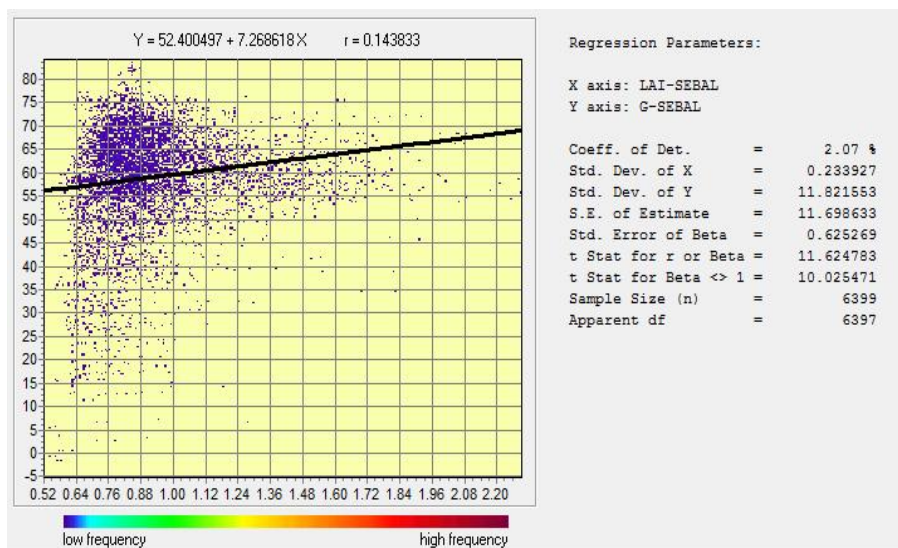


ب

شکل ۵ ادامه در صفحه بعد

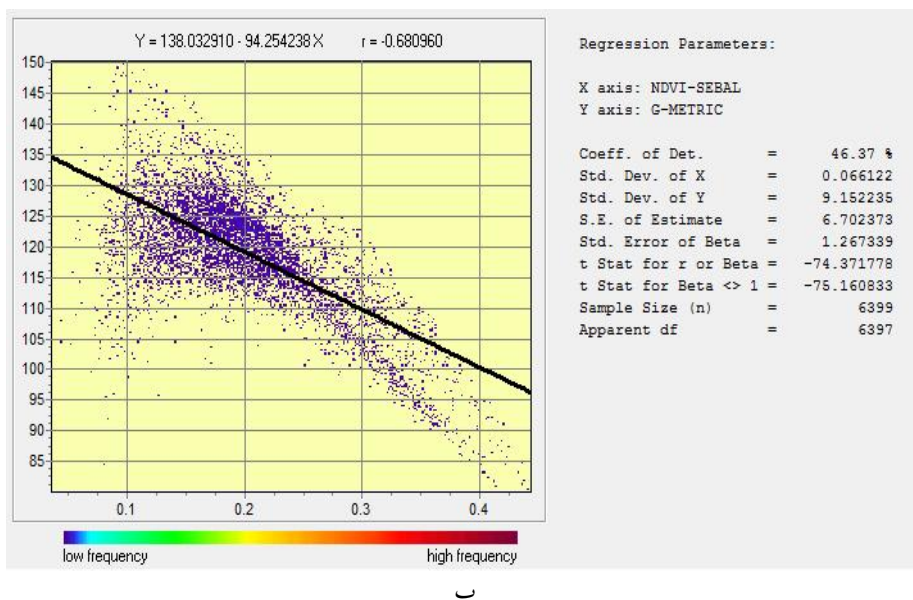
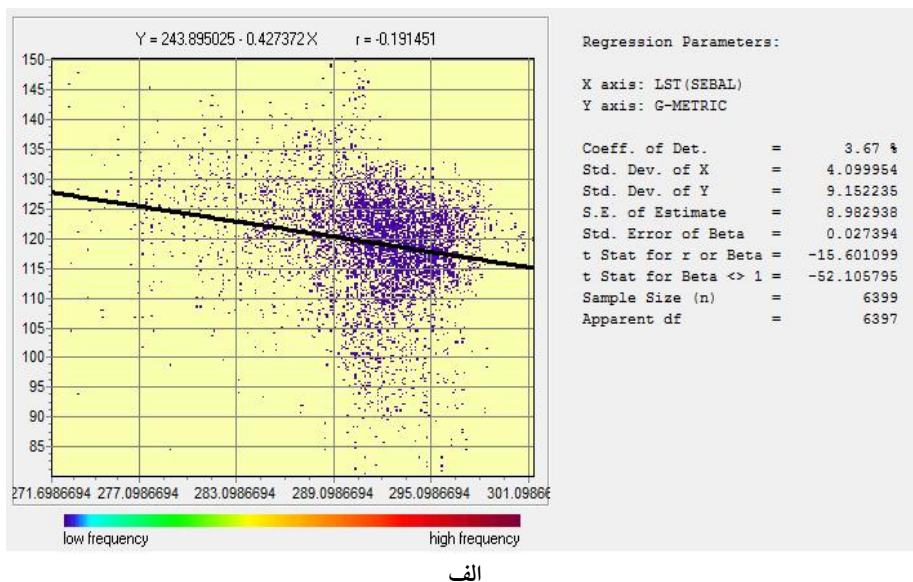


ج



د

ادامه شکل 5 همبستگی شار گرمای خاک (سبال) با پارامترهای الف: دمای سطحی زمین، ب: NDVI، ج: آلبیدو، د: LAI.



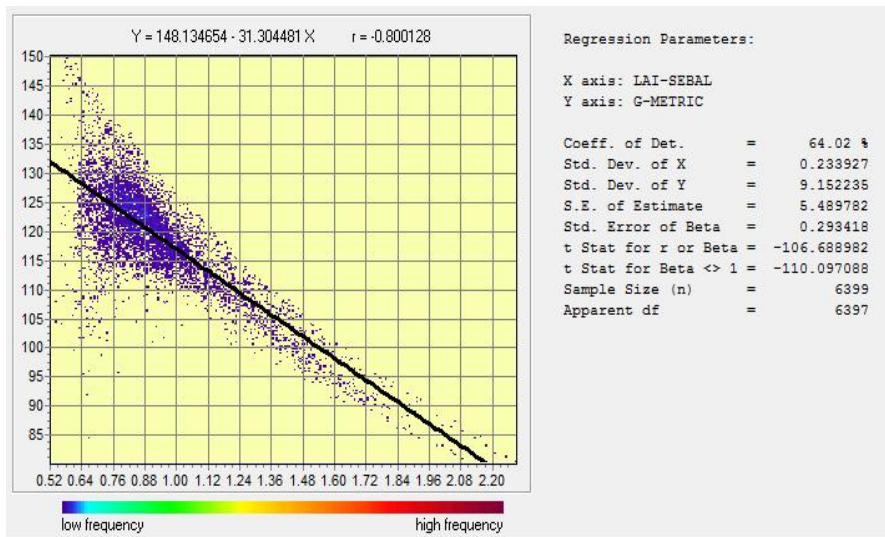
شکل ۶ ادامه در صفحه بعد



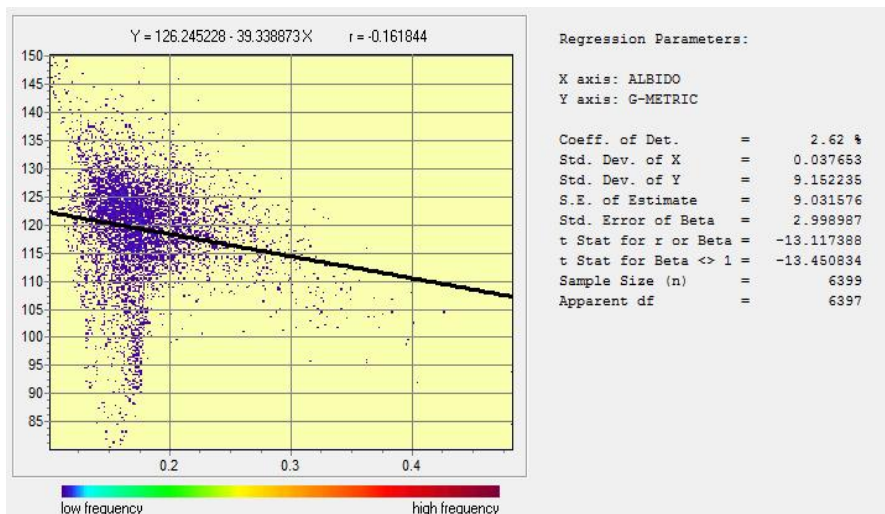
اردوان

قریانی و همکاران

ارزیابی مقایسه‌ای الگوریتم‌های سبال و ...



ج



د

شکل 6 همبستگی شار گرمای خاک (متریک) با پارامترهای الف: دمای سطحی زمین، ب: LAI، ج: NDVI، د: آلبیدو

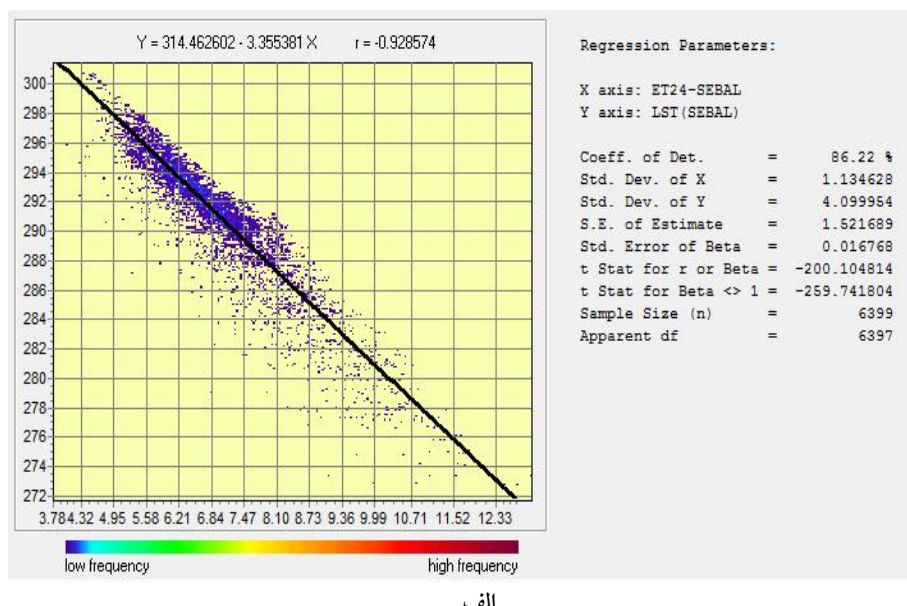
شار گرمای نهان در مدل متريک - به دليل اينكه از شاخص LAI به جاي شاخص های مناسب تر پوشش گياهی استفاده کرده - در مقايسه با شار گرمای نهان الگوريتم سبال، مقادير بيشتری دارد (شکل 6). به طور کلي، LAI شاخص مطلوبی در اين زمينه بوده است؛ زيرا به دليل استفاده از روابط تجربی است که برای منطقه آيداهو جنوبی پيشنهاد شده و ضرورت دارد قبل از استفاده از اين روابط تجربی برای محل مطالعه (شهرستان ملاير)، كالبيره یا واسنجي شود. اميدوار و همكاران (1392:18) در استفاده از اين دو الگوريتم به اين تفاوت اشاره کرده و به نتایج مشابهی دست یافته‌اند: همبستگی مقدار شار گرمای نهان با دمای سطحی در مدل متريک در مقايسه با مدل سبال، ضعیف بوده است. اميدوار (1391:19) نيز به نتایجي همسان در مطالعه خود رسید؛ ولی با توجه به مقدار شار گرمای نهان در مدل سبال در مقايسه با مقادير مدل متريک، با توجه به دما، بيشتر نقاط در اين نمودار (شکل 7) دارای ارزش است؛ زيرا در مقادير دمای زياد، مقادير شار گرمای نهان مدل متريک نيز در مقايسه با مقادير شار گرمای نهان در مدل سبال افزایش می‌يابد و مقدار انحراف اين رابطه در قسمتی بيان شده که با کاهش دما، مقدار شار گرمای نهان زياد می‌شود؛ علت اين مسئله استفاده از شاخص LAI در برآورد مقادير شار گرمای نهان در مدل متريک است. با واسنجي رابطه شاخص LAI در منطقه اين مشکل را می‌توان حل کرد. پارامترهای NDVI، LAI و آلبيدو نيز در همبستگی با شار گرمای نهان مدل متريک دارای وضعیتی مشابه‌اند. در نمودار همبستگی شاخص NDVI با شار گرمای نهان مدل متريک کاملاً نمایان است که اين دو پارامتر دارای همبستگی معکوس‌اند و با افزایش هر پارامتر، پارامتر دیگر کاهش پيدا می‌کند و برعکس، با کاهش هر پارامتر، پارامتر دیگر افزایش می‌يابد. با توجه به اينکه همانند روش سبال، بيشتر نقاط در اين نمودار در مکان‌هایی با شار گرمای نهان زياد و مقادير NDVI بين 0/1 تا 0/2 واقع شده‌اند، می‌توان نتيجه گرفت اين مقدار انحراف قابل اغماض است. در نمودار همبستگی شاخص LAI و شار گرمای نهان مدل متريک نيز شرایطي کاملاً شبیه به شاخص NDVI شکل گرفته است. در نمودار همبستگی آلبيدو نيز



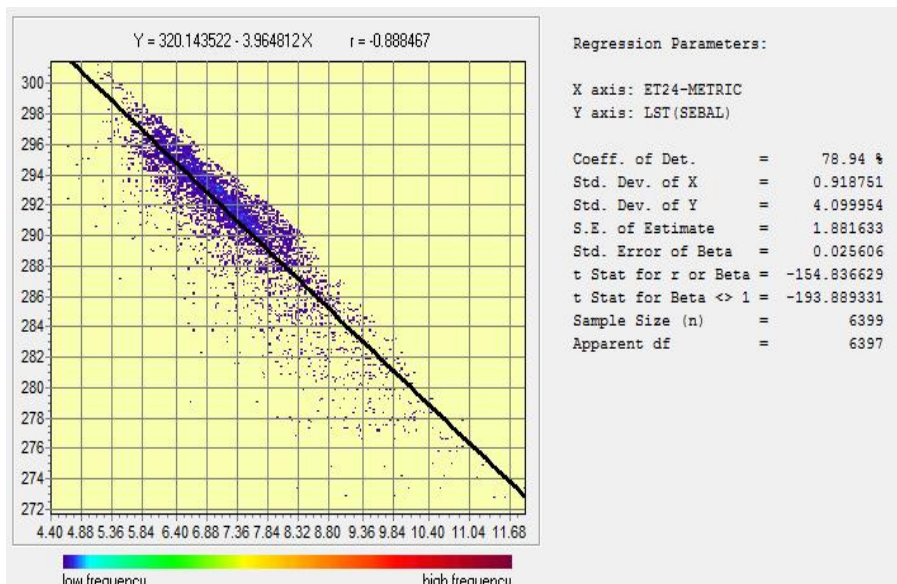
۱

مانند روش سبال، بیشتر نقاط با آلیدوی کم، مقادیر شار گرمای نهان زیادی دارند که در شرایطی نیز دارای انحراف‌اند که به‌دلیل پیکسل‌های بزرگ و شرایط توپوگرافی و پوششی ناهمسان است. با توجه به دلایل ذکر شده و اینکه برای به‌دست آوردن پارامتر شار گرمای نهان در دو مدل سبال و متريک از روابط تجربی استفاده شده و اين روابط تجربی از شاخص‌های استفاده می‌کنند که با توجه به شرایط منطقه دیگر پيش‌نهاد شده‌اند، باید واسنجی شوند. همچنین، به‌دلیل اينکه اين شاخص‌ها با استفاده از تصاوير ماهواره‌ای MODIS محاسبه شده و شهرستان ملایر با توجه به پیکسل‌های بزرگ تصاویر، دارای شرایط کاملاً ناهمگن از لحاظ پستی و بلندی و پوشش گیاهی است، اين مشکل ناهم‌بستگی در شار گرمای نهان در دو مدل را شکل داده است.

براساس آنچه تاکنون درباره علل وجود اختلاف بین برآوردهای تبخیر و تعرق واقعی روزانه با استفاده از دو الگوريتم سبال و متريک مطرح شد و با عنایت به مقدار تبخیر و تعرق به‌دست‌آمده در هر دو روش در شکل سه، الگوريتم سبال در دمای پايین و الگوريتم متريک در دمای بالا دارای فرابراورد است. علت اين امر، در مقادير شار گرمای خاک و مقدار تابش خالص با توجه به روش‌های متفاوت به‌دست آوردن اين پارامترها در هر دو الگوريتم سبال و متريک است. در ادامه، ارتباط مقدار تبخیر و تعرق در هر دو الگوريتم با مقدار دمای سطحی بررسی شده است که دارای هم‌بستگی مشابهی است و با افزایش دما، مقدار تبخیر و تعرق کاهش پيدا می‌کند؛ درنتيجه دارای هم‌بستگی معكوس با دمای سطحی است و فرابراورد مقدار تبخیر و تعرق در دماهای پايین در الگوريتم سبال و فرابراورد در دماهای بالا در الگوريتم متريک را نشان می‌دهد.



الف



ب

شکل 7 همبستگی تبخیر و تعرق 24 ساعته محاسبه شده الف: الگوریتم سیال، ب: الگوریتم متریک با دمای سطحی



## ۵- نتیجه

وجود الگوریتم‌ها و روش‌های متفاوت برآورد تبخیر و تعرق با استفاده از تصاویر ماهواره‌ای از یک سو و تولید روش‌های جدید که برخی دارای تفاوت‌های بسیار با الگوریتم‌های پیشین اند از سوی دیگر، نشان‌دهنده پیش‌رفت روزافزون دانش هوا و اقلیم‌شناسی با کاربرد سنجش از دور است. اما بررسی بیشتر در این زمینه ضروری است تا ابتدا روش‌های موجود به‌دقیق و اکاوى و سپس روش‌های جدیدتر همراه با صحت برآورده بهتر ارائه شود.

این تحقیق با بررسی اختلاف بین دو الگوریتم سبال و متريک برای محاسبه تبخیر و تعرق با استفاده از تصویر MODIS و توجيه اختلاف‌ها انجام گرفت. براساس نتایج، در ماكزيمم تبخير و تعرق منطقه، الگوریتم سبال مقدار بيشتری نسبت به متريک برآورده که نشانه فرابراورد اين روش در دماهای پايان است. اما در كل، الگوریتم سبال در مقاييسه با الگوریتم متريک دارای مقدار كمتری است که فرابراورد الگوریتم متريک در دماهای پايان را نشان می‌دهد. در محدوده شهرستان ملایر، نتایج الگوریتم سبال با ميانگين تبخير و تعرق 6/83 ميلى متر در روز و الگوریتم متريک با مقدار ميانگين 21/7 ميلى متر در روز است. علت اين اختلاف استفاده از معادلات متفاوت در محاسبه ضريب شفافيت اتمسفری و شار گرمای خاک است. بخش عمده اين تفاوت‌ها به دليل اختلاف زياد در مقادير شار گرمای خاک محاسبه شده با دو روش نامبرده است. براساس مطالعه صورت گرفته، شاخص‌های گياهي مورد استفاده در شار گرمای خاک - که در منطقه مورد مطالعه واسنجي نشده‌اند - و شرایط منطقه از لحاظ توپوگرافی و پوششی با توجه به اندازه پيكسل تصویر MODIS بيشترین تأثير را در ايجاد اين اختلاف داشته‌اند. بنابراین، لازم است تا بهمنظور رفع اين اختلاف‌ها، كالibrاسيون و واسنجي مطالعات بيشتری صورت گيرد.

## ۶- منابع

- اميدوار، جواد، برآورده تبخیر و تعرق واقعی با استفاده از الگوریتم متريک با استفاده از تصاویر استر، پایان‌نامه کارشناسی ارشد مهندسی آب، دانشگاه فردوسی مشهد، 1390.

- امیدوار، جواد و همکاران، «برآورد تبخیر و تعرق واقعی مبتنی بر تصاویر ماهواره‌ای با استفاده از دو الگوریتم سبال و متريک»، فصلنامه علمی پژوهشی مهندسی آبیاری و آب، س. ۳، ش. ۱۲، صص ۲۰-۱۳۹۲.

- باقری، محمدحسین و همکاران، «مقایسه مدل‌های سنجش از دور تکمنبعی و دومنبعی شار انرژی در برآورد تبخیر و تعرق واقعی در دشت تبریز»، سنجش از دور و GIS ایران، س. ۴، ش. ۱، صص ۸۱-۹۶.

- کریمی، علیرضا، بهمن فرهادی بانسله و همایون حصادی، «برآورد تبخیر و تعرق واقعی در مقیاس منطقه‌ای با استفاده از الگوریتم سبال و تصاویر لندست»، نشریه آبیاری و زهکشی ایران، ج. ۶، ش. ۴، صص ۳۵۳-۳۶۴.

- نوری، سمیرا، برآورد تبخیر و تعرق واقعی با استفاده از الگوریتم سبال و تصاویر سنجنده مودیس در زیرحوضه آبریز مشهد، پایان‌نامه کارشناسی ارشد گروه مهندسی آب، دانشگاه فردوسی مشهد، ۱۳۸۹.

- Allen, R.G. Et al., "SEBAL, Surface Energy Balance Algorithms for Land, Idaho implementation", *Advanced Training and User's Manual*, Version 1.0, 2002.
- Allen, R.G., M. Tasumi & A. Morse, "Satellite-Based Evapotranspiration by METRIC and Landsat for Western States Water Management", *US Bureau of Reclamation Evapotranspiration Workshop*, Feb 8-10, 2005, Ft. Collins, 2005.
- Allen, R.G., M. Tasumi & R. Trezza, "Satellite-based Energy Balance for Mapping Evapotranspiration with Internalized Calibration (METRIC) Model", *J. Irrig. Drain. Eng.*, Vol. 133, No. 4, Pp. 380- 394, 2007.
- Almhab, A. & I. Busu, "Estimation of Evapotranspiration with Modified SEBAL Model Using Landsat-TM and NOAA-AVHRR images in Aride Mountains Area", *Proceedings of Second Asia International Conference on Modelling & Simulation*, 13-15 May, Kuala Lumpur, Pp. 350- 355, 2008.
- Bagheri, M.H. Et al., "Compression Remote Sensing Single Source and two Sources Models Energy Flux in the Real Evapotranspiration Estimate", *J. Rem. Sen. GIS*, Yr. 4, No. 1, Pp. 81-96, 2012. [in Persian]



۱

- Bastiaanssen, W.G.M. Et al., "A remote Sensing Surface Energy Balance Algorithm for Land (SEBAL): 1.Formulation", *J. Hydrol.*, Vol. 212-213, Pp. 198-212, 1998.
- \_\_\_\_\_ "SEBAL Model with Remotely Sensed Data to Improve Water-Resources Management under Actual Field Condition", *J. Irrig. Drain. Eng.*, No. 131(1), Pp. 85-93, 2005.
- Bastiaanssen, W.G.M., "SEBAL-based Sensible and Latent Heat Fluxes in the irrigated Gediz Basin, Turkey", *J. Hydrol.*, Vol. 229, Pp. 87- 100, 2000.
- Chavez, J.L. Et al., "An Application of METRIC for ET Mapping in the Texas high plains", December 9- 11, 2007, *Irrigation Association CD-ROM, San Diego*, Pp. 268-283, 2007.
- Folhes, M.T., C.D. Renno & J.V. Soares, "Remote Sensing for Irrigation Water Management in the Semi-Arid Northeast of Brazil", *Agri. Water Manag.*, Vol. 96, Pp. 1398- 1408, 2009.
- Hafeez, M.M. Et al., "Field Evapotranspiration Estimation in Central Luzon, Philippine, Using Different Sensors: Landsat 7 ETM+, Terra MODIS and Aster", Proceedings of Symposium on Geospatial Theory, *Processing and Application. Ottawa, Canada*, 2002.
- Huete, A.R., "A Soil-Adjusted Vegetation Index (SAVI)", *Rem. Sen. Environ.*, Vol. 25, Pp. 295-309, 1988.
- Jacob, F. Et al., "Mapping Surface Fluxes Using Visible-Near Infrared and Thermal Infrared Data with the SEBAL Algorithm", *J. Agron.*, Vol. 22, Pp. 669-680, 2002.
- Karimi, A., B. Farhadi & H. Hesadi, "Evaluate Real Evapotranspiration at the Regional Scale Using SEBAL Algorithm and Landsat Imagery", *J. Irrig. Water Eng.* Vol. 6, No. 4, Pp. 353-364, 2013. [in Persian]
- Li, F. & T.J. Lyons, "Remote Estimation of Regional Evapotranspiration", *Environ. Mod. Soft.*, Vol. 17, Pp. 61-75, 2002.

- Mutiga, J., Zh. Su & T. Woldai, "Using Satellite Remote Sensing to Assess Evapotranspiration: Case Study of the Upper Ewaso Ng'iro North Basin, Kenya", *Int. J. App. Earth Obser. Geoinfo.*, Vol. 12, Pp. 100-108, 2010.
- Nouri, S., *Evaluation of Real Evapotranspiration Using SEBAL Algorithm and MODIS Imagery in the Mashhad Sub Basin*, Master Thesis, Department of Water Engineering, Ferdowsi University, 2011. [in Persian]
- Omidvar, J. Et al., "Evaluation and comparison of the SEBAL and METRIC Algorithms in the Estimation of Evapotranspiration", *J. Irrig. Water Eng.*, Yr. 3, No. 12, Pp. 12-20-2013. [in Persian]
- Omidvar, J., *Evapotranspiration Estimate Using METRIC Algorithm and ASTER Image*, Master Thesis, Department of Water engineering, Ferdowsi University., 110.2012. [in Persian]
- Paul, G. Et al., "Investigating the Influence of Roughness Length for Heat Transport (zoh) on the Performance of SEBAL in Semi-Arid Irrigated and Dryland Agricultural Systems", *J. Hydrol.*, Vol. 509, Pp. 231-244, 2014.
- \_\_\_\_\_ "Lysimetric Evaluation of SEBAL Using High Resolution Airborne imagery from BEAREX08", *Advan. in Water Resou.*, Vol. 59, Pp. 157-168, 2013.
- Shu, Y. Et al., "An Evapotranspiration (ET) Model Based GIS Using LANDSAT Data and MODIS Data with Improved Resolution", *J. Rem. Sen. Envirn. Mon. GIS App., and Geo*, Vol. 6, Pp. 63-66, 2006.
- Song, C. Et al., "Classification and Change Detection Using Landsat TM Data: When and How to Correct Atmospheric Effect", *Rem. Sen. Environ.*, Vol. 75, Pp. 230-244, 2001.
- Tasumi, M. Et al., "U.S. Validation Tests on the SEBAL Model for Evapotranspiration Via Satellite", *ICID Workshop on Remote Sensing of ET for large Regions*, 17 Sept, 2003.
- Tasumi, M., R.G. Allen & R. Trezza, "Operational Aspects of Satellite-Based Energy Balance Models for Irrigated Crops in the Semi-Arid U.S", *Irrig. and Drain. Sys.*, Vol. 19, Pp. 355-376, 2005.



...

ارزیابی مقایسه‌ای الگوریتم‌های سیال و ...

- Trezza, R., "Estimation of Evapotranspiration from Satellite-Based Surface Energy Balance Models for Water Management in the Rio Guarico Irrigation System, Venezuela", *Universidad de los Andes, NURR-CIDIAT*, 2006.
- Wang, J., R. Kimura & W. Bastiaanssen, "Monitoring ET with Remote Sensing and the Management of Water Resources on a Basin Scale", *The 11<sup>th</sup> CEReS International Symposium on Remote Sensing Japan*, 2005.
- Yuting, Y., Sh. Songhao & J. Lei, "Remote Sensing Temporal and Spatial Patterns of Evapotranspiration and the Responses to Water Management in a Large Irrigation District of North China", *Agri. and For. Met.*, Vol. 164, Pp. 112-122, 2012.
- Zhongping, S. Et al., "Evapotranspiration Estimation Based on the SEBAL Model in the Nansi Lake Wetland of China", *Math. and Com. Mod.*, Vol. 54, Pp. 1086-1092, 2011.